

図 3 閾値電圧が変化した場合のシミュレーションによる測定電流の変化率

表 1 セレクタ信号の信号と周波数

信号	倍数
111	1
110	2 ²
101	2 ⁴
100	2 ⁷
011	2 ⁹
010	2 ¹¹
001	2 ¹³
000	2 ¹⁴

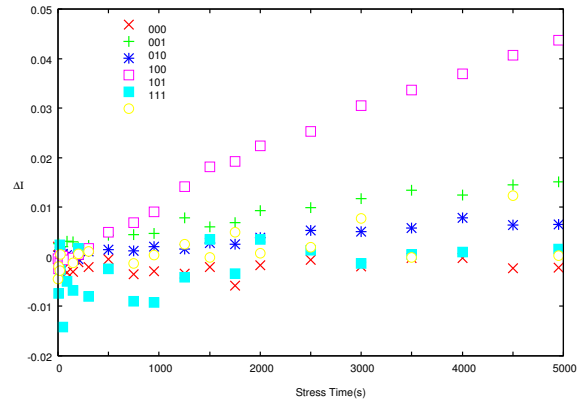


図 6 発振しなくなった場合のオシロで測定される波形

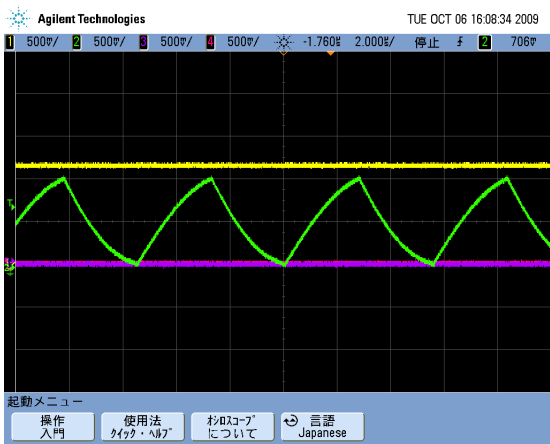


図 4 回路発振時にオシロで測定される OUT 端子出力

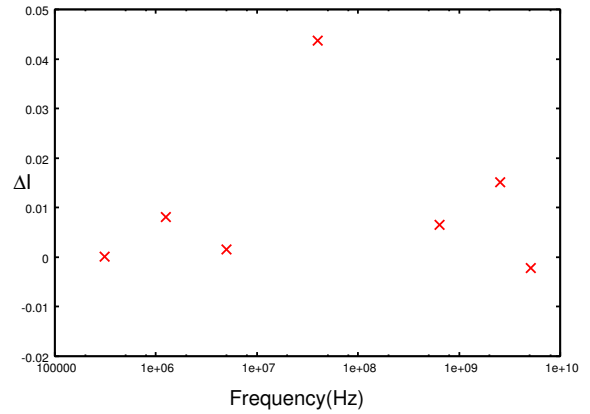


図 7 発振しなくなった場合のオシロで測定される波形

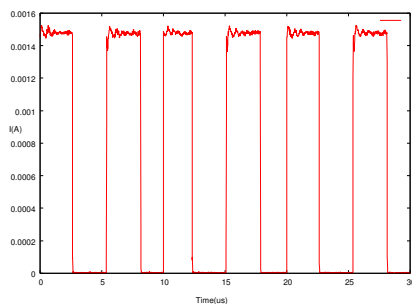


図 5 発振時に OMOS のドレイン電流として測定される電流

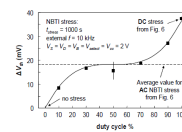


図 8 NBTI の AC 特性の変化 (Duty 比依存性)

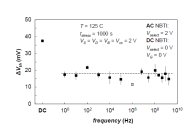


図 9 NBTI の AC 特性の変化 (周波数依存性)